

第3章 图像分析—

3.3区域描述

信控学院 蔡利梅

3.3.1 区域的几何特征

- 位置 物体在图像中的位置，用物体面积的中心点来表示

二值图像质心和形心重合。若图像中目标像素为 (x_i, y_j) ， $i = 0 \sim m-1$ ； $j = 0 \sim n-1$ ，质心位置坐标为：

0	0	0	0	0
0	1	1	1	0
0	0	1	0	0
0	0	1	0	0
0	0	1	0	0

$$\bar{x} = \frac{1}{mn} \sum_{j=0}^{n-1} \sum_{i=0}^{m-1} x_i$$
$$\bar{y} = \frac{1}{mn} \sum_{j=0}^{n-1} \sum_{i=0}^{m-1} y_j$$

$$\bar{x} = \frac{1}{mn} \sum_{j=0}^{n-1} \sum_{i=0}^{m-1} x_i = \frac{1}{6} (1 + 4 \times 2 + 3) = 2$$

$$\bar{y} = \frac{1}{mn} \sum_{j=0}^{n-1} \sum_{i=0}^{m-1} y_j = \frac{1}{6} (3 \times 1 + 2 + 3 + 4) = 2$$

■ 方向

如果物体是细长的，把较长方向的轴定为物体的方向。

将最小二阶矩轴（最小惯量轴在二维平面上的等效轴）定义为较长物体的方向。也就是说，要找出一条直线，使下式定义的E值最小：

$$E = \iint r^2 f(x, y) dx dy$$

r 是点 (x, y) 到直线的垂直距离

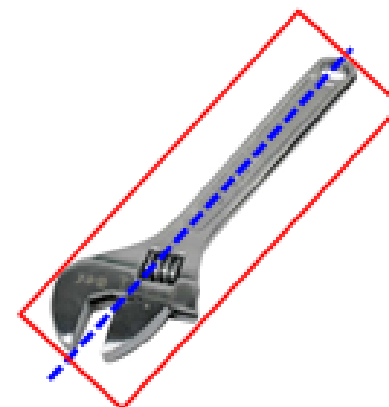


■ 尺寸

长度和宽度：区域在水平和垂直方向上的像素点数；用外接矩形的长宽表示。

外接矩形：计算物体边界点的最大和最小坐标值，得到物体的水平和垂直跨度。

最小外接矩形：Minimum Enclosing Rectangle, MER, 确定目标主轴，计算主轴方向上的长度和与之垂直方向上的宽度，得到的外接矩形，适合于任意朝向的物体



■ 尺寸

面积：度量物体的总尺寸，只与该物体的边界有关，与其内部灰度级的变化无关。

像素计数面积：统计边界内部(含边界上)的像素数目。对二值图像，面积就是统计 $f(x,y)=1$ 的个数：

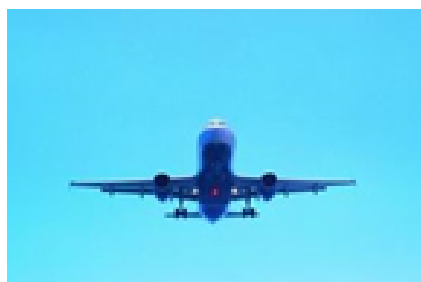
$$A = \sum_{x=0}^{M-1} \sum_{y=0}^{N-1} f(x,y)$$

0	0	0	0	0
0	1	1	1	0
0	0	1	0	0
0	0	1	0	0
0	0	1	0	0

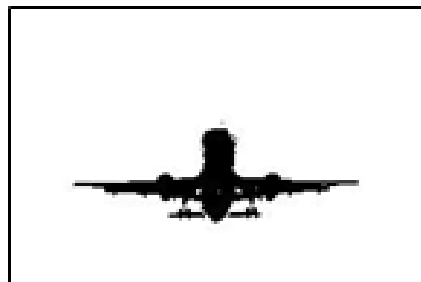
面积为6

■ 实例

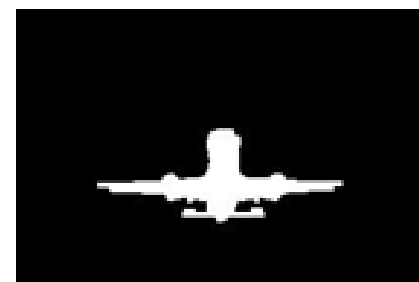
对图像进行阈值分割，并统计区域的几何特征。



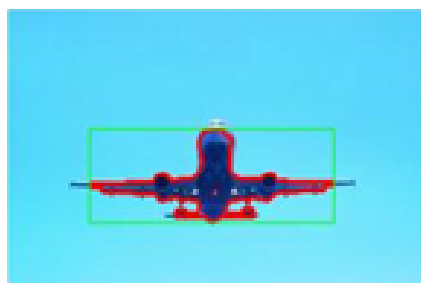
原图



二值化



划分的区域



检测的区域

STATS = Area: 2416
Centroid: [126.9814 106.6974]
BoundingBox: [50.5000 73.5000 150 57]
Orientation: 0.6521

几何特征

3.3.2 区域的矩

■ 几何矩

矩描述是指以灰度分布的各阶矩来描述区域及其灰度分布特性

连续函数 $f(x,y)$ 的 $p+q$ 阶几何矩: $M_{pq} = \int_{-\infty}^{\infty} \int_{-\infty}^{\infty} x^p y^q f(x,y) dx dy \quad p, q = 0, 1, 2, \dots$

数字图像 $f(x,y)$ 的 $p+q$ 阶几何矩: $M_{pq} = \sum_{x=0}^{M-1} \sum_{y=0}^{N-1} x^p y^q f(x,y) \quad p, q = 0, 1, 2, \dots$

零阶矩: $M_{00} = \sum_{x=0}^{M-1} \sum_{y=0}^{N-1} f(x,y)$

区域的质心坐标: $\bar{x} = \frac{M_{10}}{M_{00}} \quad \bar{y} = \frac{M_{01}}{M_{00}}$

一阶矩: $\begin{cases} M_{10} = \sum_{x=0}^{M-1} \sum_{y=0}^{N-1} x f(x,y) \\ M_{01} = \sum_{x=0}^{M-1} \sum_{y=0}^{N-1} y f(x,y) \end{cases}$

几何矩系数传递一定数量的图像信息;
几何矩不具有几何变换不变性。

■ 中心矩

$$\mu_{pq} = \sum_{x=0}^{M-1} \sum_{y=0}^{N-1} f(x, y) (x - \bar{x})^p (y - \bar{y})^q$$

中心矩具有平移不变性，归一化中心矩具有比例变换不变性

■ 归一化中心矩

$$\eta_{pq} = \frac{\mu_{pq}}{\mu_{00}^{\frac{p+q}{2}}}, \quad p = \frac{p+q}{2} + 1, \quad p+q = 2, 3, \dots$$

■ 不变矩组

$$\phi_1 = \eta_{20} + \eta_{02}$$

$$\phi_2 = (\eta_{20} - \eta_{02})^2 + 4\eta_{11}^2$$

$$\phi_3 = (\eta_{30} - 3\eta_{12})^2 + (3\eta_{21} - \eta_{03})^2$$

$$\phi_4 = (\eta_{30} + \eta_{12})^2 + (\eta_{21} + \eta_{03})^2$$

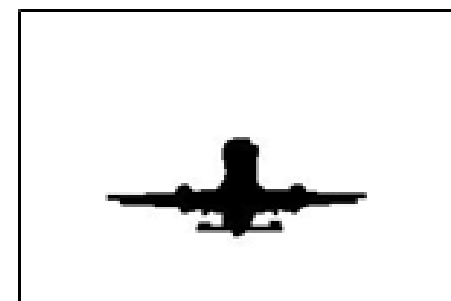
$$\phi_5 = (\eta_{30} - 3\eta_{12})(\eta_{30} + \eta_{12})[(\eta_{30} + \eta_{12})^2 - 3(\eta_{21} + \eta_{03})^2] \\ + (3\eta_{21} - \eta_{03})(\eta_{21} + \eta_{03})[3(\eta_{30} + \eta_{12})^2 - (\eta_{21} + \eta_{03})^2]$$

$$\phi_6 = (\eta_{20} - \eta_{02})[(\eta_{30} + \eta_{12})^2 - (\eta_{21} + \eta_{03})^2] + 4\eta_{11}(\eta_{30} + \eta_{12})(\eta_{21} + \eta_{03})$$

$$\phi_7 = (3\eta_{21} - \eta_{03})(\eta_{30} + \eta_{12})[(\eta_{30} + \eta_{12})^2 - 3(\eta_{21} + \eta_{03})^2] \\ - (\eta_{30} - 3\eta_{12})(\eta_{21} + \eta_{03})[3(\eta_{30} + \eta_{12})^2 - (\eta_{21} + \eta_{03})^2]$$

■ 不变矩组

对右图飞机图像进行几何变换，并计算各图像的不变矩组值。



图像	ϕ_1	ϕ_2	ϕ_3	ϕ_4	ϕ_5	ϕ_6	ϕ_7
原图	0.3950	0.0756	0.0041	0.0002	0.0000	0.0000	-0.0000
旋转图	0.3922	0.0740	0.0040	0.0002	0.0000	0.0001	-0.0000
缩小图	0.3962	0.0766	0.0055	0.0013	0.0000	0.0000	-0.0000
镜像图	0.3950	0.0756	0.0041	0.0002	0.0000	0.0000	0.0000

不变矩组具有几何变换不变性

■ 二阶矩

$$\begin{cases} M_{20} = \sum_{x=0}^{M-1} \sum_{y=0}^{N-1} x^2 f(x, y) \\ M_{02} = \sum_{x=0}^{M-1} \sum_{y=0}^{N-1} y^2 f(x, y) \end{cases}$$

分别表示相对于y轴、x轴的转动惯量

对y轴、x轴的平均旋转半径为：

$$\begin{cases} R_x = \left(\frac{M_{20}}{M_{00}} \right)^{1/2} \\ R_y = \left(\frac{M_{02}}{M_{00}} \right)^{1/2} \end{cases}$$

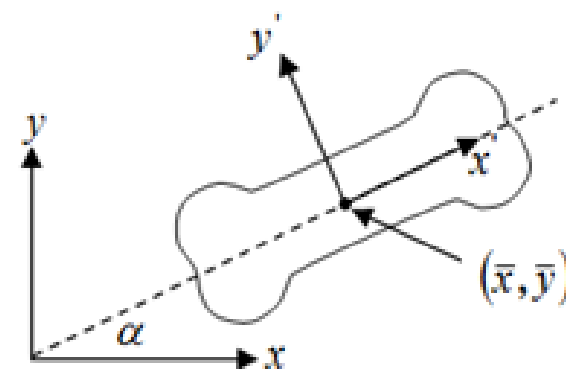
■ 主轴

直线 $L: (x - x_0) \sin \alpha - (y - y_0) \cos \alpha = 0$

区域 R 关于直线 L 的转动惯量: $I = \iint_R [(x - x_0) \sin \alpha - (y - y_0) \cos \alpha]^2 f(x, y) dx dy$

使 I 取最小的直线称为区域的主轴，经过区域 R 的质心，给出区域的取向。

$$\tan 2\alpha = \frac{2\mu_{11}}{\mu_{20} - \mu_{02}}$$



■ 等效椭圆

转动惯量与椭圆方程在形式上一致，称为等效椭圆，用其参数表示区域的许多特征

等效椭圆的中心一般位于区域的质心，椭圆主轴与 x 轴的夹角为 α ，半长轴长、半短轴长为：

$$\left\{ \begin{array}{l} a = \left[\frac{2 \left(\mu_{20} + \mu_{02} + \sqrt{(\mu_{20} - \mu_{02})^2 + 4\mu_{11}^2} \right)}{\mu_{00}} \right]^{\frac{1}{2}} \\ b = \left[\frac{2 \left(\mu_{20} + \mu_{02} - \sqrt{(\mu_{20} - \mu_{02})^2 + 4\mu_{11}^2} \right)}{\mu_{00}} \right]^{\frac{1}{2}} \end{array} \right.$$

■ 偏心率

$$e = a/b$$

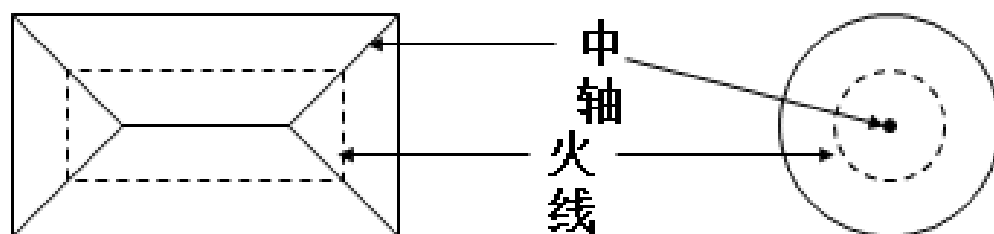
反映区域的灰度分布性质；若区域的灰度是均匀的，当区域接近于圆时， e 接近于1，否则 $e > 1$ ；受物体形状和噪声的影响比较大。

$$e = \left(\frac{\mu_{20} + \mu_{02}}{\mu_{00}} \right)^{1/2}$$

反映了区域各点对质心距离的统计方差以及物体偏离质心的程度

3.3.3 区域的骨架

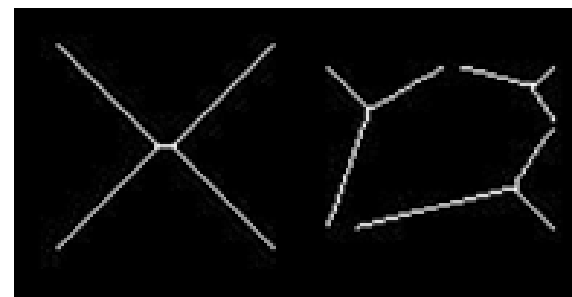
中轴，也称对称轴或骨架，是一种重要的形状特征



中轴变换：一种用来**确定物体骨架的细化技术**，对于区域中的每一点，寻找位于边界上离它最近的点，如果对于某点 p 同时找到多个这样的最近点，则称该点 p 为区域的中轴上的点。



原图



骨架图像

3.3.4 梯度方向直方图

■ 灰度直方图

定义：统计图像中各灰度出现的频率，以灰度级为横坐标、出现的频率为纵坐标绘制的图形；

特点：反应了图像的概率统计特性，具有旋转不变性和缩放不变性；

扩展应用：从直方图中计算各区域的均值、方差、能量、熵等特征值，用于表述图像信息。

■ 特征直方图

定义：统计图像中**某个特征值**出现的频率，以特征值为横坐标、出现的频率为纵坐标绘制的图形；

特点：反应了图像的某种特征的统计特性；

扩展应用：从直方图中计算相应的参数描述图像信息。

例如，纹理分析中，灰度差分统计直方图

■ 梯度方向直方图

梯度方向直方图（Histogram of Oriented Gradients, HOG）是特征直方图的一种，通过统计梯度方向直方图，用于表征图像局部梯度方向和梯度强度分布特性。

主要思想：在边缘具体位置未知的情况下，边缘方向的分布也可以很好的表示目标的外形轮廓。

■ 特征提取步骤

- 图像灰度化
- 图像归一化: $f(x, y) = f(x, y)^{Gamma}$
- 计算图像每个像素的梯度大小和方向

$$|\nabla f(x, y)| = [G_x(x, y)^2 + G_y(x, y)^2]^{1/2}$$
$$\phi(x, y) = \arctan(G_y(x, y)/G_x(x, y))$$

$G_x(x, y)$ 、 $G_y(x, y)$ 为
沿x、y方向的梯度

- 划分图像为若干方格单元，计算每一个方格单元的梯度方向直方图

将梯度方向在 $[0, \pi]$ 区间划分为K个均匀区间，若方格单元内某个像素梯度方向为第k个梯度方向，则对应区间值累加该像素的梯度值

■ 特征提取步骤

□ 将相邻单元组成块，计算块中的HOG特征向量

将块内每个方格单元的梯度方向直方图转换为单维向量，并把所有方格单元向量串联，构成块的HOG特征向量。

□ 块HOG特征向量归一化

$$v = v / \sqrt{\|v\|_2^2 + \varepsilon^2}$$
$$v = v / (\|v\|_1 + \varepsilon)$$

□ 生成图像的HOG特征向量

以一个方格单元为步长对块进行滑动，将每块的特征组合在一起，得到图像的HOG特征。

■ 实例

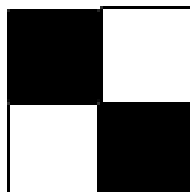
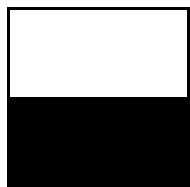
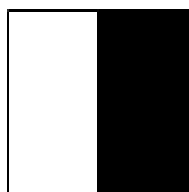
统计Lena图像的HOG特征值

Lena图像分辨率 256×256 ，每方格单元取为 8×8 ，每块由 2×2 个方格单元组成， $[0, \pi]$ 区间方向被分为9个均匀区间，每块的特征为36维，总共有 $31 \times 31 = 961$ 个块。

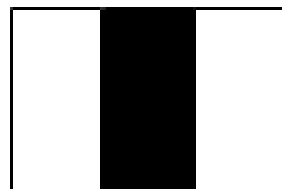
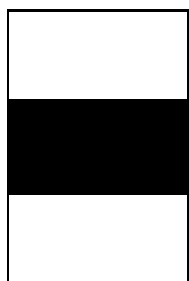
3.3.5 Haar-like特征

- 定义

Haar-like特征反映图像的灰度变化，用黑白两种矩形框组合成特征模板



白色矩形内像素和减去
黑色矩形内像素和

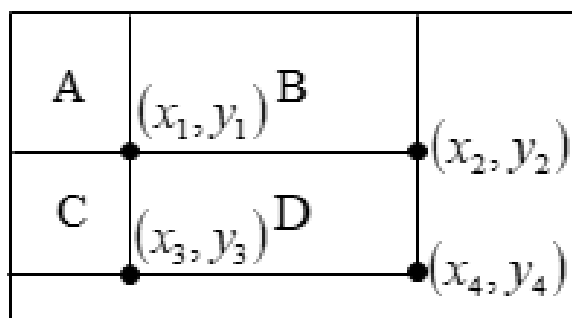


白色矩形内像素和
减去2倍黑色矩形内像素和

■ 计算

采用积分图进行加速运算，以满足实时检测需求。**积分图**： (x, y) 左上方向所有像素求和

$$ii(x, y) = \sum_{x' \leq x, y' \leq y} f(x', y')$$



$ii(x_1, y_1)$ 是区域A的像素和;
 $ii(x_2, y_2)$ 是区域A+B的像素和;
 $ii(x_3, y_3)$ 是区域A+C的像素和;
 $ii(x_4, y_4)$ 是区域A+B+C+D的像素和;

区域D求和，可通过 $A+B+C+D+A-(A+B)-(A+C)$ 计算

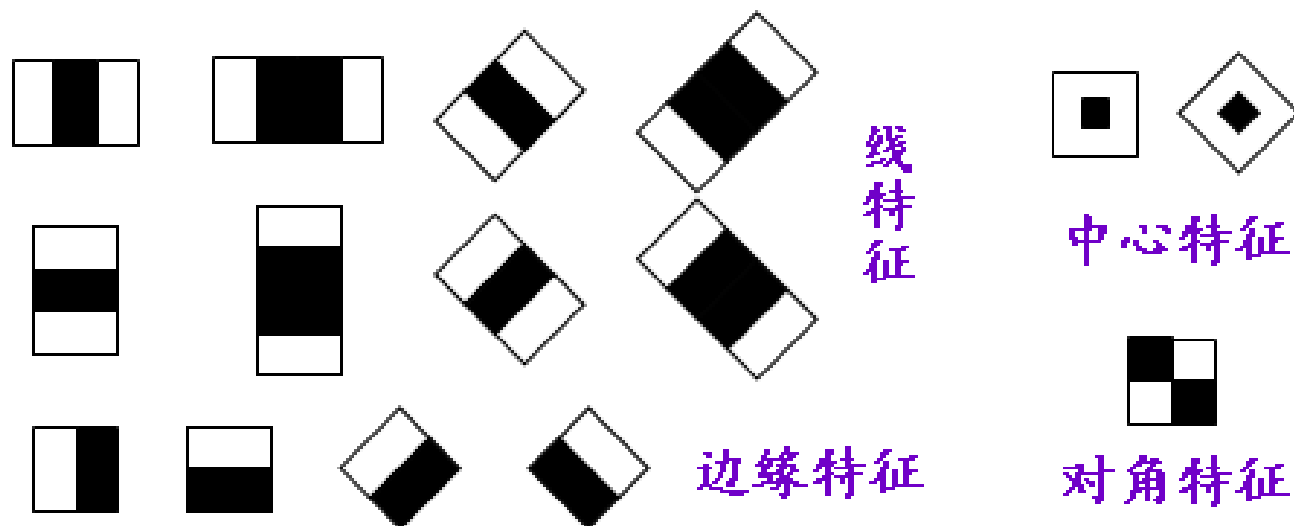
$$\sum_{(x,y) \in D} f(x, y) = ii(x_4, y_4) + ii(x_1, y_1) - ii(x_2, y_2) - ii(x_3, y_3)$$

■ 计算

积分图构建

- 用 $s(x,y)$ 表示沿 y 方向的累加和，初始化 $s(x,-1) = 0$
- 用 $ii(x,y)$ 表示一个积分图像，初始化 $ii(-1,y) = 0$
- 逐列扫描图像，递归计算每个像素 y 方向的累加和、积分图像的值：
$$s(x,y) = s(x,y-1) + f(x,y)$$
$$ii(x,y) = ii(x-1,y) + s(x,y)$$
- 遍历图像，则得到积分图像 ii

■ 扩展Haar-like特征



Haar-like特征一般和机器学习中的AdaBoost算法、级联分类器等技术结合使用

3.3.6MSER (Maximally Stable Extremal Regions) 描述子

最大稳定极值区域，一种仿射不变区域特征提取算法，通过寻找最大稳定极值区域作为区域特征描述。

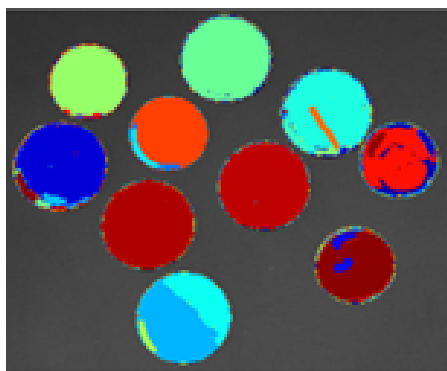
■ 最大稳定极值区域

- 取阈值为最小灰度，二值化后的图像为全白色；阈值逐渐增大，具有较小灰度的黑点慢慢呈现，慢慢聚合成小区域，小区域汇合成大区域，当阈值为最大灰度时，二值化图像为全黑色。在这个过程中，阈值在一定范围内变化时，区域的面积变化很缓慢的区域即是最大稳定极值区域。这样检测得到的MSER内部灰度值小于边界，表示为MSER+；
- 将图像灰度反转后进行检测（或者将阈值从大到小变化），得到的MSER内部灰度值大于边界，表示为MSER-；MSER+和MSER-共同组成了MSER。

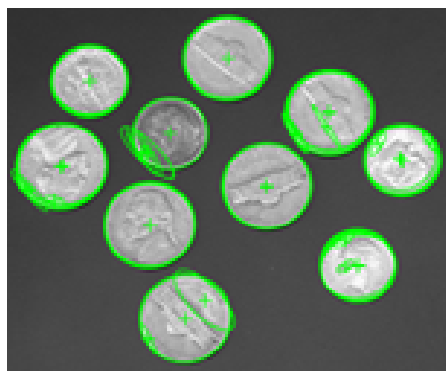
■ 仿射不变区域特征描述子提取

- 对MSER计算二阶中心矩，用等效椭圆拟合MSER；
- 将拟合区适当扩大为测量区，指定半径归一化为圆形区域；
- 在归一化区域内进行图像梯度直方图统计，找出该直方图的最大值，并将该最大值对应的方向作为归一化区图像梯度的主方向；
- 根据主方向对归一化区图像进行旋转，保证特征描述的旋转不变性；
- 对灰度归一化保证对灰度变化的不变性。

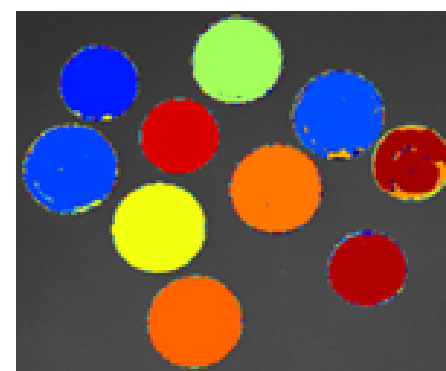
■ 实例



MSER区域



等效椭圆和中心点



检测到的近似圆